Errata

Zdislava Boštíková, diplomová práce 2016

Tabulka 1 na str. 46 a tabulka 2 na str. 47 chybějící směrodatné odchylky

Tabulka 1: Koncentrace proteinů v izolovaných mikrosomálních frakcích.

Koncentrace (mg/ml)	Kontrola	Myricetin	Dihydromyricetin
Játra	20,5 ± 0,86	41,6 ± 0,06	36,8 ± 0,06
Tenké střevo – proxi	2,61 ± 0,14	1,23 ±0,05	5,67 ± 0,19
Tenké střevo – middle	2,74 ± 0,15	2,96 ± 0,14	4,41 ± 0,07
Tenké střevo – distal	2,13 ± 0,04	2,43 ± 0,02	2,06 ± 0,08
Tlusté střevo	3,98 ± 0,18	3,86 ± 0,18	2,85 ± 0,20

Vzorky byly izolovány z jater a střev z potkanů premedikovaných flavonoidy myricetinem a dihydromyricetinem. Kontrolní skupině byl podán slunečnicový olej.

Tabulka 2: Koncentrace proteinů v izolovaných cytosolárních frakcích.

Koncentrace (mg/ml)	Kontrola	Myricetin	Dihydromyricetin
Játra	30,1 ± 0,98	26,2 ± 0,80	22,8 ± 0,26
Tenké střevo – proxi	3,56 ± 0,05	1,85 ± 0,10	2,30 ± 0,02
Tenké střevo – middle	5,49 ± 0,22	4,38 ± 0,24	5,81 ± 0,18
Tenké střevo – distal	4,57 ± 0,08	4,45 ± 0,16	3,91 ± 0,05
Tlusté střevo	3,42 ± 0,11	3,52 ± 0,16	3,06 ± 0,22

Vzorky byly izolovány z jater a střev z potkanů premedikovaných flavonoidy myricetinem a dihydromyricetinem. Kontrolní skupině byl podán slunečnicový olej.

Obr. 10 na str. 49 a obr. 11 a 12 na str. 50 - chybný popis obrázku, enzym nebyl imunodetekčně stanoven v mikrosomálním vzorku, ale ve vzorku cytosolárním

Původní obrázky:

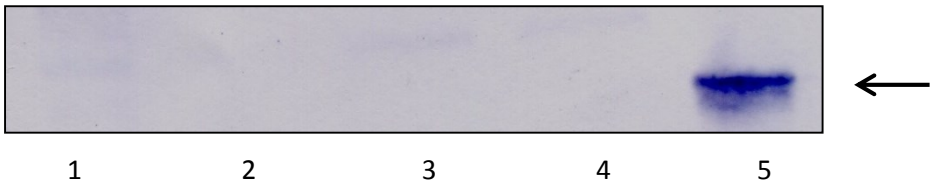

Obr. 10: Vliv myricetinu a dihydromyricetinu na indukci NAT v játrech. Pro elektroforesu byl použit 12% polyakrylamidový gel, do každé jamky bylo pipetováno 20 µg proteinu. Šipkou je vyznačena pozice NAT1 na membráně. Do jednotlivých drah byly aplikovány vzorky v redukujícím pufru v následujícím pořadí: standard (1); mikrosomy po premedikaci slunečnicovým olejem - kontrolní (2), myricetinem (3) a dihydromyricetinem (4); rekombinantní NAT1 (5), 4 µg/jamka.

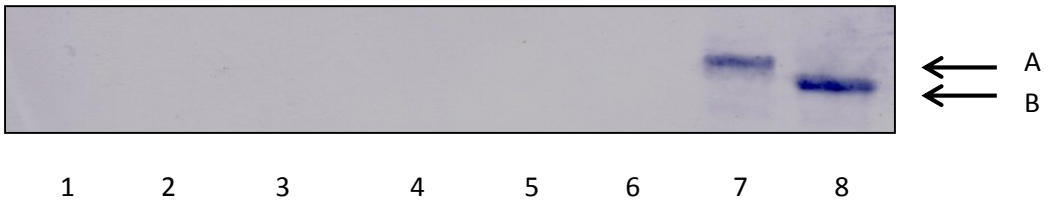

Obr. 11: Vliv myricetinu a dihydromyricetinu na indukci NAT v proximální a střední části tenkého střeva. Pro elektroforesu byl použit 12% polyakrylamidový gel, do každé jamky bylo pipetováno 20 µg proteinu. Šipkami jsou vyznačeny pozice NAT1 (A) a NAT2 (B) na membráně. Do jednotlivých drah byly aplikovány vzorky v redukujícím pufru v následujícím pořadí: mikrosomy izolované z proximální části tenkého střeva potkanů po premedikaci slunečnicovým olejem - kontrolní (1), myricetinem (2) a dihydromyricetinem (3); mikrosomy izolované ze střední části tenkého střeva potkanů po premedikaci slunečnicovým olejem - kontrolní (4), myricetinem (5) a dihydromyricetinem (6); rekombinantní NAT1 (7), 4 µg/jamka; rekombinantní NAT2 (8), 4 µg/jamka.

Obr 12: Vliv myricetinu a dihydromyricetinu na indukci NAT v distální části tenkého střeva a v tlustém střevě. Pro elektroforesu byl použit 12% polyakrylamidový gel, do každé jamky bylo pipetováno 20 µg proteinu. Šipkami jsou vyznačeny pozice NAT1 (A) a NAT2 (B) na membráně. Do jednotlivých drah byly aplikovány vzorky v redukujícím pufru v následujícím pořadí: mikrosomy izolované z distální části tenkého střeva potkanů po premedikaci slunečnicovým olejem - kontrolní (1), myricetinem (2) a dihydromyricetinem (3); mikrosomy izolované z tlustého střeva potkanů po premedikaci slunečnicovým olejem - kontrolní (4), myricetinem (5) a dihydromyricetinem (6); rekombinantní NAT2 (7), 4 µg/jamka; rekombinantní NAT1 (8), 4 µg/jamka

<u>Opravené obrázky:</u>

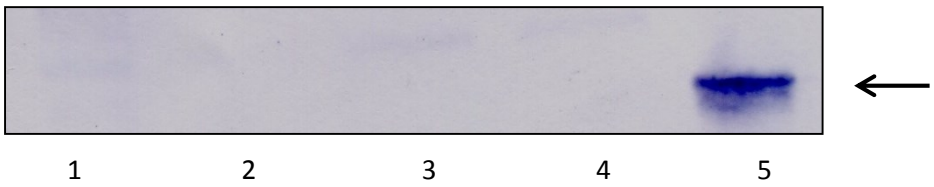

Obr. 10: Vliv myricetinu a dihydromyricetinu na indukci NAT v játrech. Pro elektroforesu byl použit 12% polyakrylamidový gel, do každé jamky bylo pipetováno 20 µg proteinu. Šipkou je vyznačena pozice NAT1 na membráně. Do jednotlivých drah byly aplikovány vzorky v redukujícím pufru v následujícím pořadí: standard (1); cytosoly po premedikaci slunečnicovým olejem - kontrolní (2), myricetinem (3) a dihydromyricetinem (4); rekombinantní NAT1 (5), 4 µg/jamka.

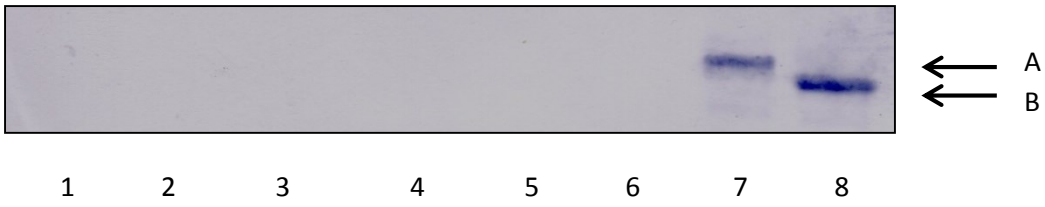

Obr. 11: Vliv myricetinu a dihydromyricetinu na indukci NAT v proximální a střední části tenkého střeva. Pro elektroforesu byl použit 12% polyakrylamidový gel, do každé jamky bylo pipetováno 20 μg proteinu. Šipkami jsou vyznačeny pozice NAT1 (A) a NAT2 (B) na membráně. Do jednotlivých drah byly aplikovány vzorky v redukujícím pufru v následujícím pořadí: cytosoly izolované z proximální části tenkého střeva potkanů po premedikaci slunečnicovým olejem - kontrolní (1), myricetinem (2) a dihydromyricetinem (3); cytosoly izolované ze střední části tenkého střeva potkanů po premedikaci slunečnicovým olejem - kontrolní (4), myricetinem (5) a dihydromyricetinem (6); rekombinantní NAT1 (7), 4 μg/jamka; rekombinantní NAT2 (8), 4 μg/jamka.

Obr 12: Vliv myricetinu a dihydromyricetinu na indukci NAT v distální části tenkého střeva a v tlustém střevě. Pro elektroforesu byl použit 12% polyakrylamidový gel, do každé jamky bylo pipetováno 20 μg proteinu. Šipkami jsou vyznačeny pozice NAT1 (A) a NAT2 (B) na membráně. Do jednotlivých drah byly aplikovány vzorky v redukujícím pufru v následujícím pořadí: cytosoly izolované z distální části tenkého střeva potkanů po premedikaci slunečnicovým olejem - kontrolní (1), myricetinem (2) a dihydromyricetinem (3); cytosoly izolované z tlustého střeva potkanů po premedikaci slunečnicovým olejem - kontrolní (4), myricetinem (5) a dihydromyricetinem (6); rekombinantní NAT2 (7), 4 μg/jamka; rekombinantní NAT1 (8), 4 μg/jamka